

ВЛИЯНИЕ РЕЖИМОВ УПРОЧНЯЮЩЕЙ ТЕРМИЧЕСКОЙ ОБРАБОТКИ НА СТРУКТУРУ И СВОЙСТВА ТИТАНОВОГО СПЛАВА ВТ22

Уникальные свойства титановых сплавов определяют широкие возможности их применения в авиастроении. Особенно эффективно их применять для изготовления высоконагруженных деталей, а также деталей, работающих в условиях нагрева до температур 300...600 °C.

В авиастроении широко применяется высоколегированный титановый сплав ВТ22. Из него изготавливают детали шасси, детали крепления силовой установки, используют для изготовления основных элементов силового набора, высоконагруженных болтов, шпилек и т.д. Поэтому изучение режимов упрочняющей термической обработки титанового сплава ВТ22 является актуальным.

Сплав ВТ22 является двухфазным $\alpha+\beta$ -сплавом, т.е. может эффективно упрочняться закалкой с последующим старением. Его химический состав: 4,5...5,9% Al, 4,0...5,5% Mo, 4,0...5,5% V, 0,5...2,0% Cr, 0,5...1,5% Fe. Таким образом, α - и β -твердые растворы достаточно сильно упрочнены Al, Mo, V, Cr и Fe. Сплав характеризуется высокой гетерогенностью структуры (высокая дисперсность смеси α - и β -фаз в связи с примерно одинаковым их количеством в структуре сплава), обладает существенным эффектом упрочняющей обработки и высокой прокаливаемостью.

Температура $(\alpha+\beta \leftrightarrow \beta)$ -превращения сплава ВТ22 зависит от изменения в пределах допуска химического состава и колеблется в интервале 840...870 °C.

В работе исследовано влияние режимов закалки и старения на структуру и свойства титанового сплава ВТ22. С этой целью образцы подвергались закалке при температурах ниже, равной и выше температуры $(\alpha+\beta \leftrightarrow \beta)$ -превращения: 750, 850 и 900 °C с последующим старением при температурах 400, 500 и 600 °C.

Анализ микроструктуры образцов проведен с помощью растрового электронного микроскопа с системой энергодисперсионного микроанализа РЭМ-106.

Металлографические исследования показали, что при температурах закалки 750 и 850 °C образуется структура, состоящая из α - и β -фаз (рис. 1). Структура сплава представлена мелкими частицами α -фазы на фоне β -матрицы, причем по мере повышения температуры закалки частицы α -фазы укрупняются, коагулируют, расстояние между ними увеличивается, а количество β -фазы увеличивается по сравнению с количеством α -фазы.

При закалке с температуры 900 °C, что выше температуры $\alpha + \beta \leftrightarrow \beta$ -превращения, структура представляет собой β -фазу в форме крупных равноосных зерен (рис. 2).

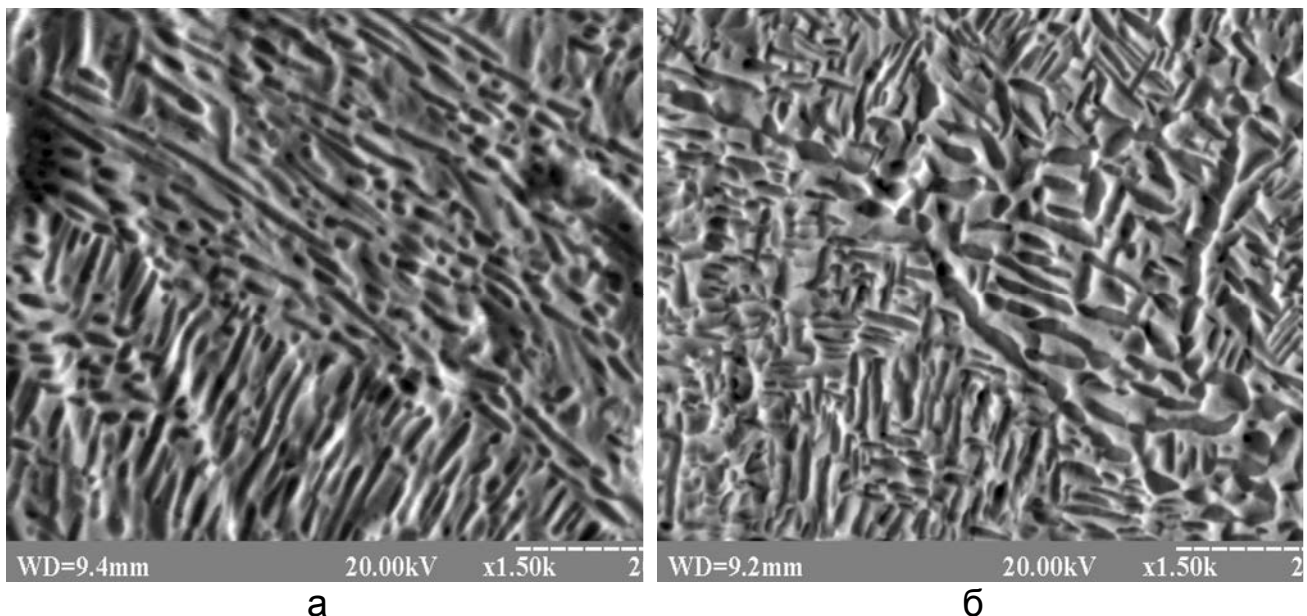


Рисунок 1 – Микроструктура сплава BT22 в закаленном состоянии, вода, x1500: а – $t = 750$ °C; б – $t = 850$ °C

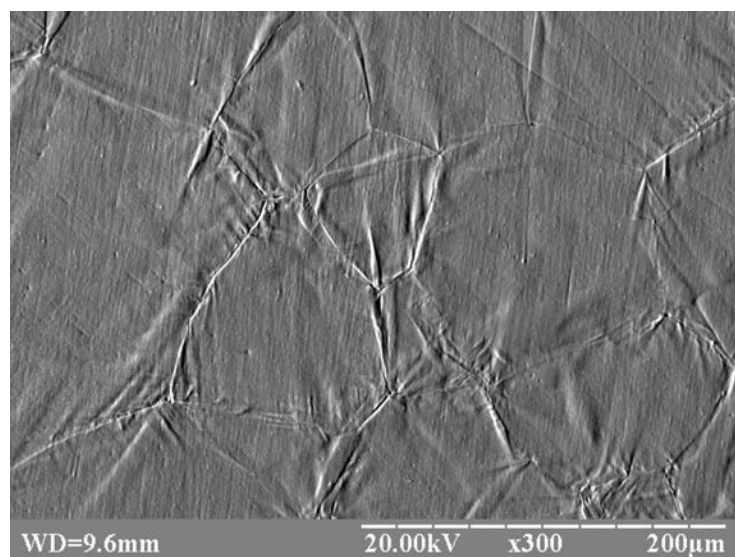


Рисунок 2 – Микроструктура сплава BT22, закаленного при температуре 900 °C, вода, x300

В ходе исследования с использованием растрового электронного микроскопа с системой энергодисперсионного микроанализа РЭМ-106 проанализировано распределение легирующих элементов в α - и β -твердых растворах. Поскольку после термической обработки α - и β -фазы характеризуются высокой дисперсностью, то для анализа выбран

образец с наибольшими размерами фаз, а именно, закаленный образец при температуре 850 °C (рис. 3).

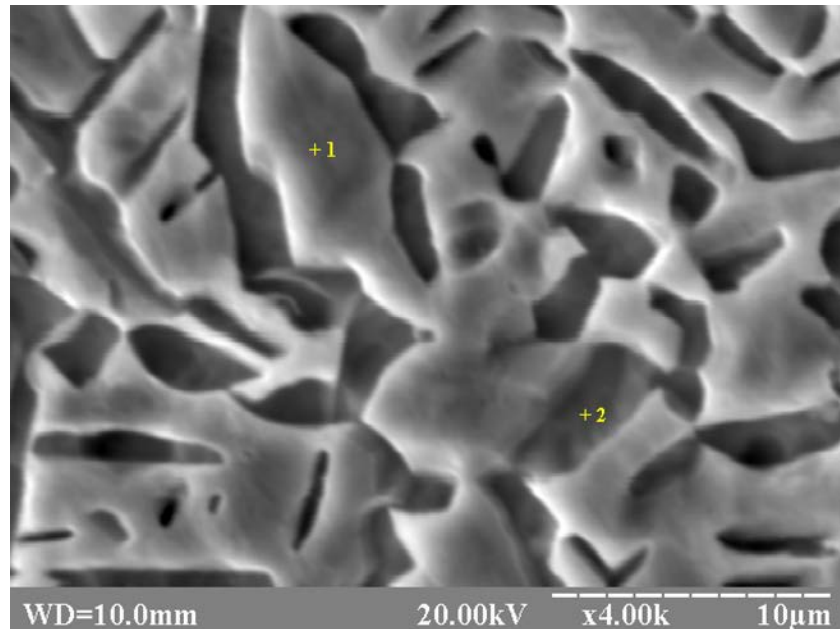
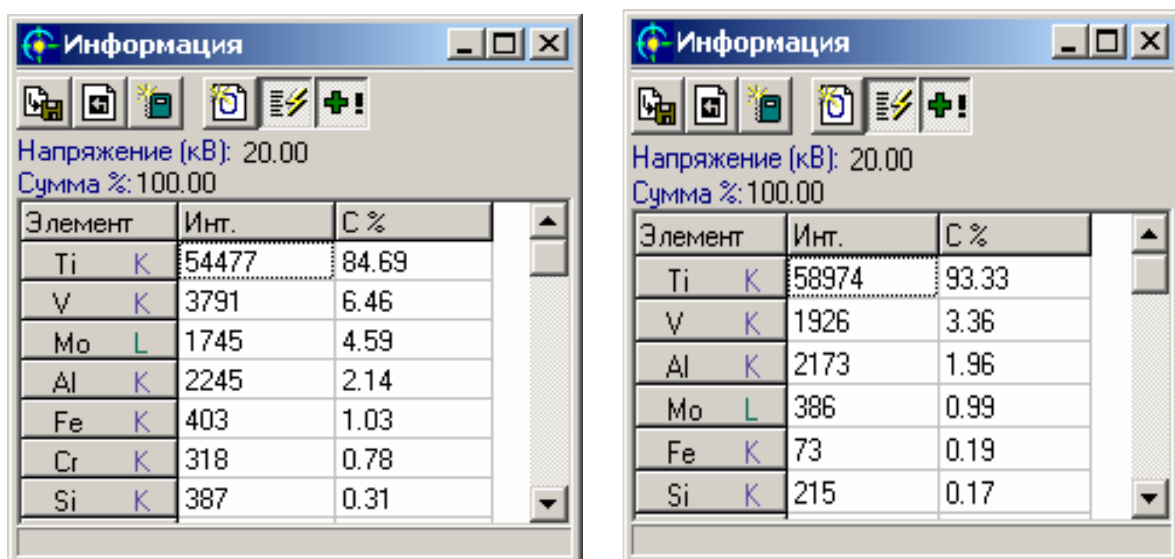


Рисунок 3 – Микроструктура сплава BT22 в закаленном состоянии (850 °C, вода), x4000

На рис. 3 выделено две области, которые соответствуют α - и β -фазам: 1 – α -фазе, 2 – β -фазе. Результаты измерений показали, что размер α -фазы составил 15,3...30,8 мкм, расстояние между ними – 1,56...2,04 мкм. Распределение легирующих элементов в α - и β -фазах после закалки показано на рис. 4.



а

б

Рисунок 4 – Химический состав α и β -фаз при закалке 850 °C:
а – состав α -фазы; б – состав β -фазы

Анализируя состав фаз, можно прийти к выводу, что общее количество легирующих элементов в а-фазе превышает в 2,3 раза количество легирующих элементов в β-фазе. Так, в а-фазе железа больше в 5,4 раза, молибдена – в 4,6 раза, а ванадия – в 1,9 раза, чем в β-фазе. При этом содержание алюминия мало отличается, а хром присутствует только в а-фазе.

При температурах старения 400...600 °C происходит перераспределение легирующих элементов между а- и β-фазами, что приводит к стабилизации последней.

Для анализа распределения легирующих элементов между а- и β-твердыми растворами взят образец, состаренный при температуре 400 °C (рис. 5). На рисунке выделено две области, которые соответствуют а- и β-фазам: 1 – а-фазе, 2 – β-фазе. Результаты измерений показали, что размер а-фазы составил 4,4...8,4 мкм, расстояние между ними – 0,465...0,8 мкм.

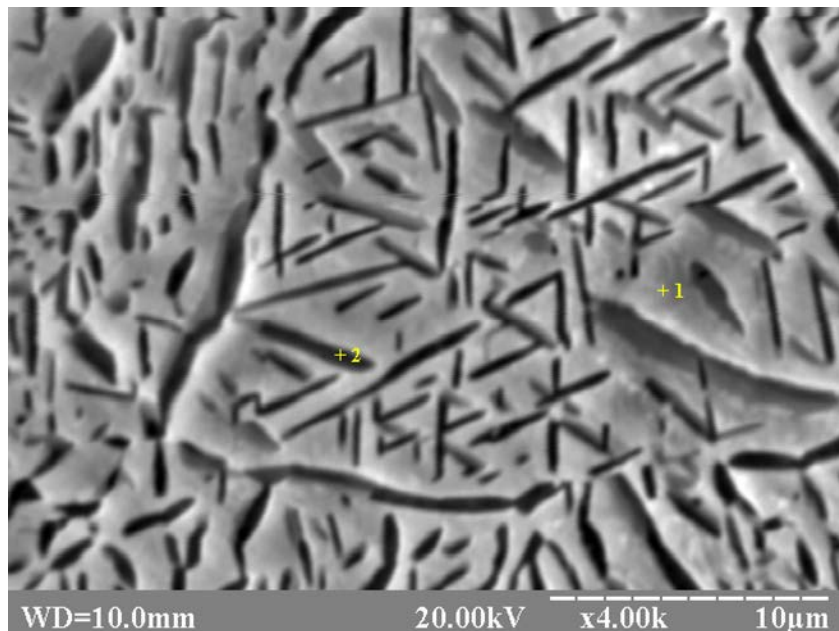


Рисунок 5 – Микроструктура сплава ВТ22
в состаренном состоянии, x4000

Распределение легирующих элементов в а- и β-фазах после старения показано на рис. 6.

Анализируя состав фаз, можно прийти к выводу, что при старении действительно происходит перераспределение легирующих элементов между а- и β-фазами, при этом β-фаза становится более легированной.

При изучении влияния температур закалки на упрочнение сплава образцы, закаленные с температур 750, 850 и 900 °C, подвергались старению при температурах 400, 500 и 600 °C в течение 2 часов.

Элемент	Инт.	C %
Ti	K 55406	88.16
V	K 3080	5.38
Mo	L 1147	3.06
Al	K 2283	2.18
Fe	K 251	0.66
Cr	K 119	0.30
Si	K 321	0.26

Элемент	Инт.	C %
Ti	K 55914	87.97
V	K 3381	5.84
Mo	L 1306	3.42
Al	K 1716	1.62
Fe	K 318	0.83
Si	K 338	0.27
Cr	K 24	0.06

а

б

Рисунок 6 – Химический состав α и β-фаз при старении 400 °С:
а – состав α-фазы; б – состав β-фазы

В ходе исследования проанализированы изменения твердости сплава ВТ22 после различных режимов закалки и старения. Так, при повышении температуры закалки эффект упрочнения сплава после старения растет. Например, твердость после закалки при $t = 750^{\circ}\text{C}$ и старения при $t = 500^{\circ}\text{C}$ (рис. 7) составила 38 HRC.

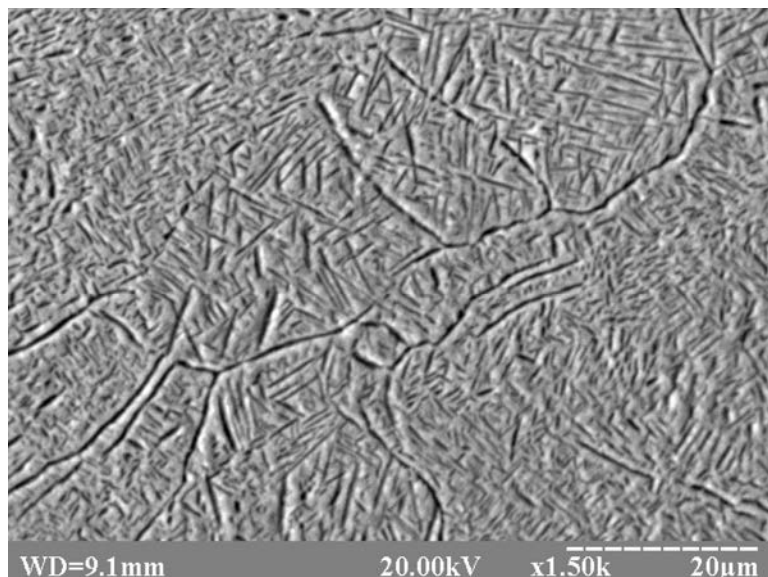


Рисунок 7 – Микроструктура титанового сплава ВТ22 после закалки 750°C и последующего старения при температуре 500°C , x1500

Твердость после закалки при $t = 900^{\circ}\text{C}$ и старения при $t = 500^{\circ}\text{C}$ составила 46 HRC. Увеличение твердости объясняется тем, что с повышением температуры закалки и скорости охлаждения фиксируется, а следовательно, и распадается при старении большее количество β-фазы, т.е. растет эффект упрочнения сплава. Максимальная твердость сплава наблюдалась при температуре старения 500°C .

С повышением температуры старения происходит некоторое снижение твердости. Это объясняется коагуляцией высокодисперсных частиц вторичной α -фазы при увеличении времени выдержки и повышении температуры старения. Так, при закалке при $t = 750^{\circ}\text{C}$ и старении при $t = 500^{\circ}\text{C}$ размер частиц вторичной α -фазы составил 2,26...3,95 мкм, расстояние между ними – 0,2...0,4 мкм; при старении при $t = 600^{\circ}\text{C}$ размер частиц вторичной α -фазы – 5,4...8,98 мкм, расстояние между ними – 0,7...0,89 мкм (рис. 8).

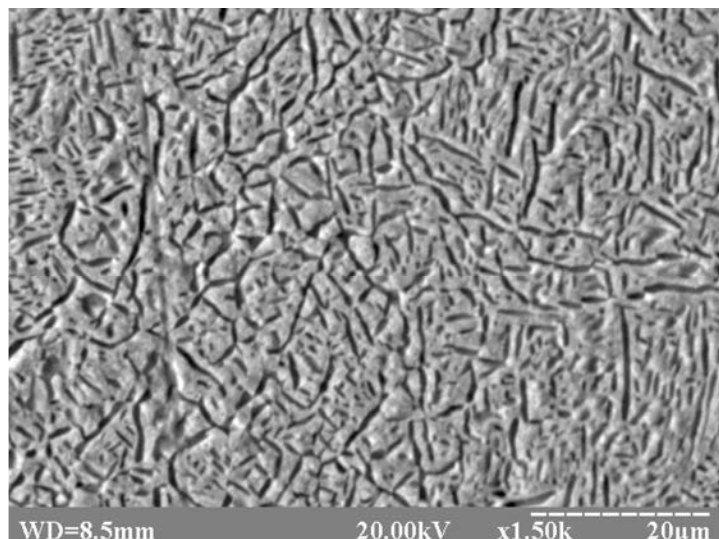


Рисунок 8 – Микроструктура титанового сплава BT22 после закалки при 750°C и последующего старения при температуре 600°C , $\times 1500$

Выводы. Анализ результатов исследований показал:

- при старении титанового сплава BT22 происходит перераспределение легирующих элементов между α - и β -фазами, при этом β -фаза становится более легированной;
- большие температуры закалки в рекомендуемом интервале температур дают больший эффект упрочнения сплава после старения;
- наилучшее сочетание свойств титанового сплава BT22 достигается закалкой при температуре 750°C и последующем старении при температуре 500°C .

Список использованных источников

1. Титановые сплавы. Металлография титановых сплавов/ Е.А. Борисова, Г.А. Бочвар и др. – М.: Металлургия, 1980. – 464 с.
2. Структура и свойства титановых сплавов: Сб. статей/под. ред. С.Г. Глазунова, А.И. Хорева / М.: ОНТИ, 1972. – 255 с.
3. Вульф В.К. Термическая обработка титановых сплавов/ В.К. Вульф – М.: Металлургия, 1969. – 376 с.

Поступила в редакцию 10.06.2010 г.

*Рецензент: д-р техн. наук, ст. науч. сотр. В.И. Сливинский
УкрНИИТМ, г. Днепропетровск*